

粒界偏析における計算材料科学の最前線

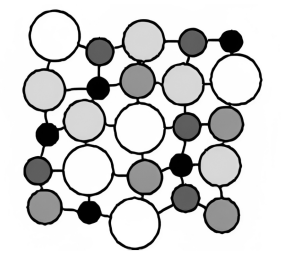
ハイエントロピー合金の粒界偏析と 粒界からの転位放出

塩谷光平*新山友暁**下川智嗣**

1. はじめに

近年、ハイエントロピー合金 (High-entropy alloy、以下 HEA とする) $^{(1)(2)}$ と呼ばれる新しい合金系が注目を集め、盛んに研究が行われている $^{(3)-(5)}$. HEA は一般的には、5 種類以上の原子種をほぼ等量ずつ混合することにより作成される結晶性の固溶体合金の総称である(図 $^{(a)}$). 多種類の原子をそれぞれ高濃度に混合することにより、これまでに作成・実用化されてきたような希薄系合金(図 $^{(b)}$) では達成できないほどの高い配置のエントロピーを実現することができるため、相分離や金属間化合物の形成が抑制された高濃度の多成分合金として安定化するものと考えられている。また、HEA の中には、高強度と高延性を両立して示すもの $^{(6)-(8)}$

(a) ハイエントロピー合金(HEA) (b) 従来の希薄合金



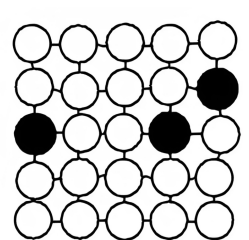


図1 (a)ハイエントロピー合金(HEA)と(b)従来の希薄合金の原子構造の模式図. 従来の合金では溶質原子が少量だけ混合しているのに対して、HEAでは各原子種がほぼ等量ずつの割合で均等に混合している. また、HEAは大小様々な原子種から結晶構造が形成されるため、結晶格子が歪んでいる.

や,高温耐性を示すもの⁽⁹⁾⁽¹⁰⁾など,従来の合金を凌駕するような様々な優れた機械的性質を示すものが数多く報告されている.このことから HEA は次世代の構造用材料の有力な候補として幅広い応用が期待されている.

HEA の注目すべき特徴の一つとして、構成原子種の原子 サイズが様々に異なっていることがあげられる. この原子サ イズの違いにより、結晶格子には格子欠陥が存在していなく ても原子レベルのひずみが生じている $^{(3)(4)(11)}(図 1(a))$. こ の格子ひずみが転位のすべり運動の抵抗として機能するため に,強化機構として従来の金属材料で導入されるような固溶 原子や析出物をはじめとした転位運動の障害物がなくても材 料強度の向上が実現され得る.例えば、格子のひずみの大き さを表す平均原子変位パラメータ(Mean square atomic displacement; MSAD) と HEA の降伏応力には正の相関があり、 HEA 中の格子ひずみが転位運動を抑制することで高い降伏 応力が実現されることが報告されている⁽¹²⁾⁽¹³⁾.このよう に、原子サイズの異なる元素がほぼ等量ずつ混ざり合うこと で、結晶粒内に原子スケールの力学場の不均一性が生じ、こ のことが HEA の力学特性に強く関与していると考えられて いる.

結晶材料には転位以外にも粒界と呼ばれる面欠陥が存在している。粒界は結晶方位の異なる隣接粒間の界面であり、そこでは結晶格子の並進対称性が壊されている。そのため、粒界は転位運動に対する強い抵抗として機能し(14)、材料強度は粒径依存性を示す(15)(16)。さらに、粒界は結晶領域よりもエネルギーが高い領域であり、結晶粒集団における力学場の不均一性を生じ、破壊の起点として機能することが知られている。また、粒界はその構造に応じた大小様々な隙間(自由体積)を有し、拡散(17)や転位放出(18)-(21)の優先サイトとして

Grain Boundary Segregation and Dislocation Emission from Grain Boundaries in High-entropy Alloys; Kohei Shiotani*, Tomoaki Niiyama** and Tomotsugu Shimokawa** (Division of Mechanical Science and Engineering, Graduate School of Natural Science and Technology, Kanazawa University, Kanazawa)

Keywords: high-entropy alloy, grain boundary, dislocation, segregation, molecular dynamics, Monte Carlo 2023年 6 月25日受理[doi:10.2320/materia.62.658]

658 特 集

^{*} 金沢大学大学院自然科学研究科機械科学専攻;大学院生(〒920-1192 金沢市角間町)

^{**} 金沢大学理工研究域機械工学系;1)准教授 2)教授

機能することも知られている. ここで HEA における粒界に 着目する.先述したように HEA は大小様々なサイズの原子 種で構成されるため、粒界において、もし粒界の自由体積の 大きさに見合ったサイズの原子が粒界を構成することを通じ て粒界全体の自由体積を減少させることができれば、その結 果として粒界は力学的に安定化することになる(例えば、自 由体積が大きな原子サイトにはサイズの大きな原子が、自由 体積の小さな原子サイトにはサイズの小さな原子が配置され るなど). このとき、粒界を構成する原子種の組成比率には 偏りが生じるため、粒界偏析が発生することになる. 実際に HEA において粒界偏析が発生することは、3次元アトムプ ローブのような実験的手法から多く確認されてい る⁽²²⁾⁻⁽²⁷⁾. しかしながら実験的なアプローチのみでは HEA における粒界偏析の発生がどのように粒界を介した塑性現象 に影響を与え、HEA の優れた力学特性の発現に関与し得る のかを理解することは困難である.

このような力学現象を原子スケールで検討できる有力な手 法の一つとして分子動力学(Molecular dynamics; MD)シミ ュレーションがあげられる. MD シミュレーションは, 各々 の原子に働く力を用いて Newton の運動方程式を立式し、そ れらを時間的に発展させることを通じて原子の運動を追跡す る手法である. そのため原子スケールの時間的・空間的な解 像度で格子欠陥を力学的に検討・考察することが可能であ る. そして MD シミュレーションでは、用いる原子間ポテ ンシャルの特色に応じて、現実的な材料だけでなく、ある物 性のみを恣意的に変更した仮想的な材料をモデル化し, その 力学現象をシミュレートすることも可能である. そのため, 原子間ポテンシャルのチューニングを通じて仮想材料の物性 を制御することにより, ある力学現象に対する支配因子を特 定するためのツールとして効力を発揮しうる. 本報では、著 者らが近年取り組んでいる HEA における粒界偏析や粒界を 介した塑性現象(特に粒界からの転位放出現象)に対して, MD シミュレーションを用いて検討・考察して得られた知見 について紹介する⁽²⁸⁾. 本報ではまず、HEA をシンプルに原 子スケールでモデル化する手法について述べ、その手法を用 いて作成した HEA モデルを用いた粒界偏析シミュレーショ ンと、変形解析を通じた粒界からの転位放出現象について述 べる. 最後に、これまでに得た知見に基づいて今後の研究の 展望について述べる.

2. ハイエントロピー合金の原子モデリング

HEA を構成する原子種のサイズの多様性と粒界偏析, さらには粒界からの転位放出現象との関係について調査するために, 同程度のサイズの原子種から構成される HEA から, ばらつきが大きく異なるサイズの原子種から構成される HEA まで, 様々な構成原子サイズを有する HEA をモデル化した. ここでは 5 種類の原子から構成される HEA を対象とした.

(1) 原子サイズのばらつきの定量化

原子サイズが様々に異なる原子種から構成される HEA モデルを作成する際には、次式に示す原子サイズ差パラメータ⁽²⁹⁾を用い、その原子サイズのばらつきを定量化した.

$$\delta = 100 \sqrt{\sum_{\alpha=1}^{n} c_{\alpha} \left(1 - \frac{r_{\alpha}}{\sum_{\beta=1}^{n} c_{\beta} r_{\beta}} \right)^{2}}$$
 (1)

ここで、n は HEA を構成する原子種の数(ここでは n=5)、 c_{α} 、 r_{α} はそれぞれ構成原子種 α の混合割合と原子サイズである。著者らは、2 次元系の多元系モデルの液体状態からの急冷シミュレーションを通じて、 δ <8 であれば多元系合金が結晶材料として安定化することを見出している (28)。そのため、ここでは δ <8 の範囲である δ =0, 2.06, 4.12及び6.15をもつ 2 次元系原子モデルを作成した。なお、 δ =0 は異種原子間で原子サイズに差がないことを意味し、その値が大きくなるのに伴って原子サイズの差が大きくなることを意味する (異種原子間で原子サイズを変える手法については後述する).

(2) 原子間相互作用

MD シミュレーションによって HEA の原子シミュレーシ ョンを実施するためには、HEA の構成原子間に発生する相 互作用エネルギーを表現する必要がある. 近年, 物性を実験 や第一原理計算から得られる値にフィッティングすることを 通じて、HEA をよりリアルに表現するような原子間相互作 用を構築する試みが活発に行われてきた(30)-(35). その一方 で本研究では、HEA を構成する原子種の原子サイズと粒界 が持つ固有の隙間(自由体積)という幾何学的な関係に着目し た検討を目的としている. そのため本研究では、先述したよ うな HEA のリアルさを追求した原子間相互作用ではなく, 原子サイズは原子種によって異なるが、原子間結合力のよう な化学的効果は全ての原子種間で同じになるような仮想的な HEA を用いた検討を行った. そのような検討を可能にする ための5元系のHEAの原子間相互作用として、次式に示す ような Morse ポテンシャル $\phi^{\alpha\beta}(r)$ をベースとする原子間ポ テンシャル $\phi_s^{\alpha\beta}(r)$ を用いた.

$$\phi_s^{\alpha\beta}(r) = \begin{cases} \phi^{\alpha\beta}(r) - \phi^{\alpha\beta}(r_{\rm c}) - (r - r_{\rm c}) \frac{d\phi^{\alpha\beta}(r_{\rm c})}{dr} & (r \le r_{\rm c}) \\ 0 & (r > r_{\rm c}) \end{cases}$$
(2)

 α と β は原子種を意味し、本研究では簡易的に α , β =1, 2, 3, 4, 5の整数を割り当てた. r_c はカットオフ距離であり、原子間結合距離が r_c 以遠では結合エネルギーや結合力がゼロになるように Morse ポテンシャルの形状をチューニングした. なお、本研究で用いた原子間相互作用のベースとした Morse ポテンシャル $\phi^{\alpha\beta}(r)$ は、次式のように表現できるシンプルな2 体間相互作用の一種である.

$$\phi^{\alpha\beta}(r) = D^{\alpha\beta} \left\{ e^{-2a^{\alpha\beta}(r - r_0^{\alpha\beta})} - 2e^{-a^{\alpha\beta}(r - r_0^{\alpha\beta})} \right\} \tag{3}$$

 $D^{\alpha\beta}$, $a^{\alpha\beta}$ 及び $r_0^{\alpha\beta}$ はそれぞれ,原子種 α と β 間の凝集エネルギー,弾性定数及び安定結合距離に関連するパラメータである.先述したように本研究では,原子サイズは原子種によって異なるものの原子間結合力のような化学的効果は全ての原

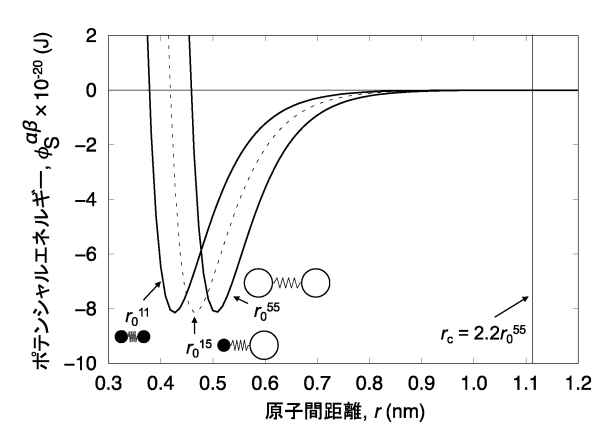


図 2 HEA の原子間ポテンシャルの例. ここでは δ = 6.15をもつ HEA モデルの構成原子種の中で最小サイズ(原子種1)と最大サイズ(原子種5)の2体間相互作用を示した. ポテンシャルの深さ,極小値付近の曲率,及び極小値の位置はそれぞれ,凝集エネルギー,弾性定数,及び安定原子間結合距離に関連する.

子種間で同じになるような仮想的な HEA を対象とするため, $D^{\alpha\beta}$ と $a^{\alpha\beta}$ は全ての同種原子間と異種原子間で一定値とし, $r^{\alpha\beta}$ のみ α と β の組み合わせで様々に変えることで,原子サイズのみが異なる仮想的な HEA モデルを作成した.同種原子間の $r^{\alpha\alpha}$ は α が 1 から 5 になるにつれて大きな値となり,異種原子間の $r^{\alpha\alpha}$ は $r^{\alpha\alpha}$ と $r^{\alpha\alpha}$ の平均値とした.図 2 に参考として, δ = 6.15をもつ HEA モデルの構成原子種の中で最小サイズ(原子種 1)と最大サイズ(原子種 5)の原子間ポテンシャル $\rho^{\alpha\alpha}$ (r)を示した.ポテンシャルの深さ(凝集エネルギー)と極小値付近の曲率(弾性定数)は全ての原子種間で同じ値に揃え,極小値の位置(安定原子間距離)のみを同種原子間で変えることを通じて,原子サイズのみが原子種間で異なるHEA モデルを作成した.

(3) 解析モデルと解析条件

粒界偏析シミュレーションや粒界からの転位放出シミュレーションの原子配置としては、様々な粒界構造からの転位放出現象を単一の原子モデル内で表現するために、図3に示すような円環状の粒界モデルを用いた。なお、図中の原子の色の違いは原子種の違いを表す。ここでは5種類の原子種は等量ずつ原子モデルの格子点上にランダムに配置した。また、原子サイズ差は先述したように δ =0,2.06,4.12及び6.15をとるような4種類の原子系を用いた。

先述の手法によって作成した円環状粒界モデルでは各原子種がランダムに分布しているが,実際にはエネルギー的な効果によって,粒界近傍ではその構造に対応したエネルギー的に有利な特定の原子種の比率が高まる可能性が考えられる。そこで,以下で述べるモンテカルロ (Monte Carlo; MC)法とMD 法を組み合わせた「ハイブリッド MC/MD 法」を用いることで,ある温度 T (焼鈍温度) において熱力学的な平衡状態に近い原子配置を獲得した。まず,ランダムに 2 つの原子を選択しその位置を入れ替えた。それらの原子の入れ替

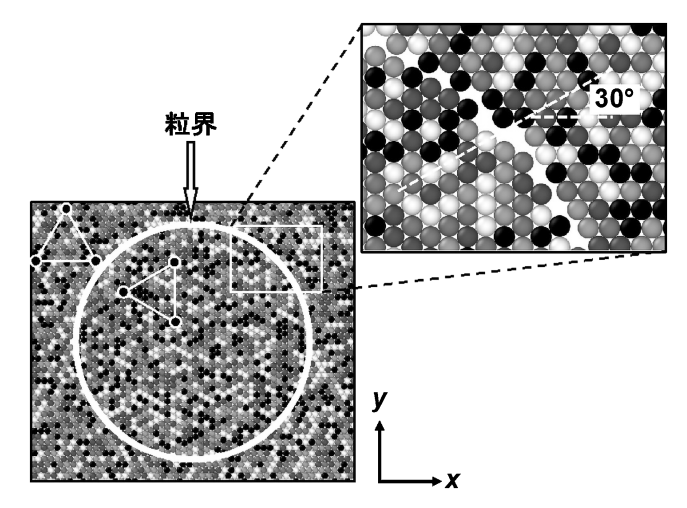


図3 粒界偏析と粒界からの転位放出シミュレーションのための初期の原子配置、原子の色の違いは原子種の違いを表す、5種類の原子種はランダムに分布している、粒界は円環状に配置されており、粒界を構成する隣接粒間の方位差は30度である。

え後に MD 法により構造緩和計算を行い,原子の入れ替え前後の粒界モデル全体のエネルギー差 ΔE を決定した.得られたエネルギー差に対して Metropolis の基準 $^{(36)}$ ($^{(37)}$)に従い, $\Delta E \leq 0$ の場合には無条件でそれらの原子位置の入れ替えを採択する一方で, $\Delta E > 0$ の場合には $\exp[-\Delta E/(kT)]$ の確率で原子の位置交換を採択するものとした.ここで k は Boltzmann 定数,T は焼鈍温度である.焼鈍温度は T=300 ($=0.12\ T_m$),1000($=0.4\ T_m$),及び2000($=0.8\ T_m$) K を選んだ. T_m は対象とする 4 種類の δ をとる原子モデルの融点であり, $T_m=2500$ K である.

以上の手法によって得られる焼鈍後の円環状粒界モデルに対して、温度 1 K でのy 方向及びx 方向の単軸圧縮変形解析を行い、HEA 中の粒界の転位放出能力について検討した.

3. ハイエントロピー合金における粒界構造特性

(1) 焼鈍シミュレーションによるエネルギー変化

図 4 に示したのは, δ = 2.06の HEA において温度 T= 300, 1000,及び 2000 K でハイブリッド MC/MD 法による 焼鈍シミュレーションを実施した際の,原子モデル全体での ポテンシャルエネルギー変化である.いずれの温度における 焼鈍においても,モンテカルロステップの増加に伴うポテンシャルエネルギーの減少が見られる.そしてその減少量はモンテカルロステップの増加に伴って小さくなり,次第に一定値に収束していくような傾向が見られる.この傾向は焼鈍温度が低い T= 300 K ほど顕著であることがわかる.この挙動は Gibbs の自由エネルギーの式から解釈することができる.すなわち,この挙動は低温であるほど配置のエントロピーよりもエネルギーを優先した原子配置を実現しようとするのに対して,高温下では配置のエントロピーの寄与が大きくなるような原子配置(ランダム配置)を実現しようとすること

660 特 集

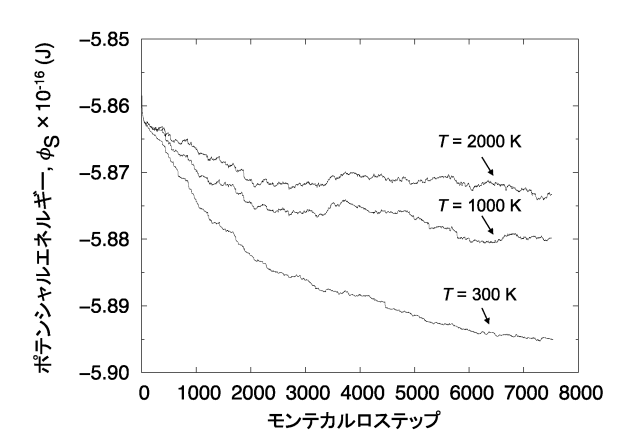


図 4 温度 T = 300, 1000,及び 2000 K で原子サイズ差 δ = 2.06の HEA モデルにハイブリッド MC/MD 法による 焼鈍を行った際の全ポテンシャルエネルギー変化.温度が低いほどポテンシャルエネルギーの減少量が大き いことがわかる.

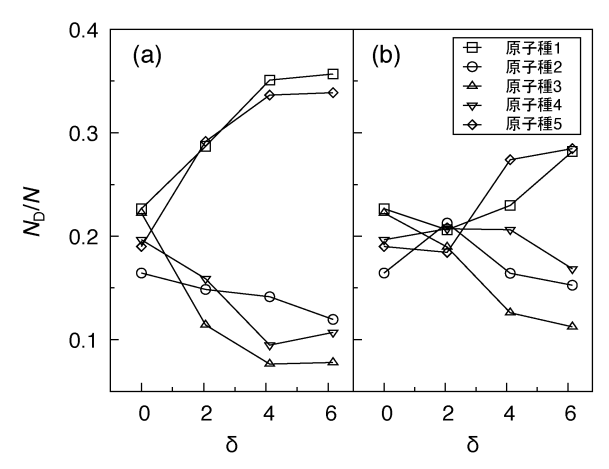


図 5 焼鈍温度が(a) $T=300~{\rm K}$ と(b) 2000 ${\rm K}$ においてハイブリッド ${\rm MC/MD}$ 法を適用した際の,粒界を構成する原子種の比率と原子サイズ差 δ の関係。 $\delta=0$ (単元系)においても粒界を構成する原子種が等比率になっていないのは,粒界を構成する原子の個数が少ないことに起因した組成の揺らぎのためである。

に対応していると考えることができる. そのため低温での焼 鈍では配置のエントロピーの低い原子配置が実現されている と考えられ, 粒界偏析が生じていることが予想される.

(2) 焼鈍後の粒界における原子組成

図 5 に示したのは、(a) $T=300~{\rm K}$ と(b) $2000~{\rm K}$ において 円環状粒界モデル中の粒界を構成する原子組成比率と原子サイズ差 δ の関係である。まず、 $\delta=0$ (単元系)における原子組成に着目すると、粒界を構成する原子種は等比率になっていないことがわかる。これは粒界を構成する原子の個数が少ないことに起因した組成の揺らぎであることを注記しておく、 $T=300~{\rm K}$ と $2000~{\rm K}$ ではいずれの温度下においても、原子サイズ差 δ の増加に伴って最小サイズの原子種(Element 1)と最大サイズの原子種(Element 5)が粒界を構成する割合が増加する傾向が見てとれる。またこの傾向が強いのは温度が

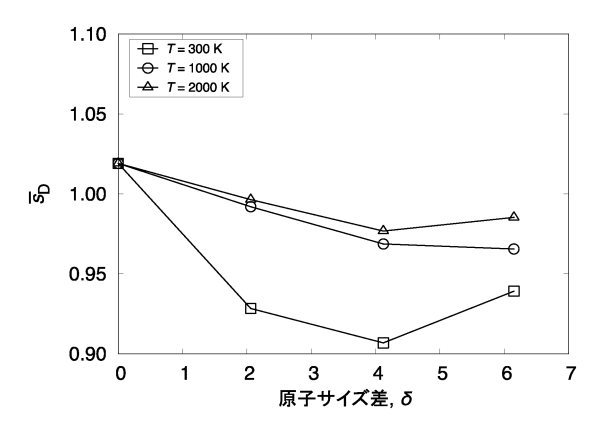


図 6 粒界における原子混合度 \bar{s}_D と原子サイズ差 δ の関係. 焼 鈍 温 度 T=300,1000, 及び 2000~K について示した. 焼 鈍 温度が低いほど粒界における原子混合度が小さく,このことは粒界偏析が発生していることを意味している.

低い 300 K の方であることもわかる. このことから, HEA の粒界偏析の傾向は原子サイズ差だけではなく焼鈍温度にも 依存していることが理解できる. これは, 先述したように Gibbs の自由エネルギーに対するエントロピーの寄与が温度 に比例することからも自然に理解できる現象である.

図6に示したのは、粒界における原子混合度 s_D と原子サ イズ差 δ の関係である. ここでは焼鈍温度T=300,1000, 及び 2000 K における解析結果を示した. \bar{s}_D は配置のエント ロピーの考え方に基づいて定義した量であり、その値が1 であれば周囲の原子種はランダムに混合していることを意味 し、値が小さくなるのに伴って特定の原子種が集まっている ことを意味する指標である(この指標の導出等の詳細につい ては文献⁽²⁸⁾を参照されたい). まず, $\delta=0$ では \bar{s}_D は1を超 える値を示していることがわかるが、これは \bar{s}_D の計算に用 いた原子配置のサンプル数が少ないことに起因した1から の揺らぎである. そのため、サンプル数の増加に伴い \bar{s}_D は 1に収束することを注記しておく、次に各 δ における \bar{s}_D の 変化に着目すると、焼鈍温度の低下に伴って sn は減少する ことがわかる.このことは、HEA の粒界は局所構造が同種 原子で構成される傾向を持つことを意味しており、 \bar{s}_D の減 少は粒界偏析が発生していることとその偏析の度合いを定量 的に示している.

図7に示したのは、 δ =4.12の HEA モデルにおいて、(a) 300 K と(b) 1000 K で焼鈍した際の粒界構造である。粒界を構成する原子種に着目するために結晶粒内の原子は消去して示した。これらの粒界構造より、本研究でモデル化したような原子間相互作用力が全ての原子種間で一定の仮想的なHEA モデルでは、低温での焼鈍ほど粒界は黒い原子(最小サイズの原子種) と白い原子(最大サイズの原子種)から構成される傾向が強くなることがわかる。このように HEA の構成原子種のサイズの違いに起因して粒界偏析が発生することが視覚的かつ定性的に理解できる。なお、ここでは様々な粒界構造を併せ持つ円環状の粒界モデルを用いたため粒界構造

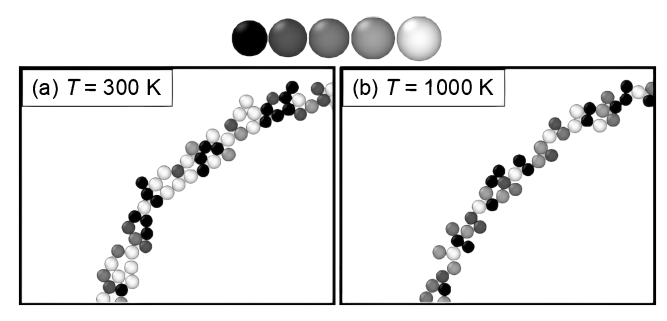


図 7 焼鈍温度が(a) 300 K と(b) 1000 K における δ = 4.12の HEA の粒界構造. 結晶粒内の原子は消去して粒界領域中の原子のみ示した. 低温ほど黒い原子(最小の原子) と白い原子(最大の原子)が多く粒界領域に存在しており、粒界偏析が発生していることがわかる.

の特定が困難であり、先述したような原子サイズと粒界の隙間との関係(隙間が小さな原子サイトにはサイズが小さな原子が偏析するなど)を見出すことはできなかった。そのため、このような関係は対称傾角粒界を用いた著者らの後の研究において議論した⁽³⁸⁾.

4. ハイエントロピー合金の粒界からの転位放出現象

ハイブリッド MC/MD 法による焼鈍で得られた円環状粒界モデルに対して、温度 $1 \, \mathrm{K} \, \mathrm{cr} \, x$ 方向及び y 方向に単軸圧縮変形を加え、粒界から転位が放出したときの応力 σ_{ys} を測定した。ここでは粒界を構成する原子種の組成の偏りを示すパラメータである原子混合度 \bar{s}_D と σ_{ys} の関係を検討した。なお、負荷荷重方向が異なると解析モデルの弾性定数も変化するため、各応力ひずみ曲線の傾きからヤング率 E を算出し、 σ_{ys} を E で正規化した上で、異なる δ のモデル間での比較を行った。

図8に示したのは、粒界から転位が放出されたときの規格 化応力 σ_{vs}/E と粒界の原子混合度 \bar{s}_D の関係である. プロッ トの形状の違いは原子サイズ差δ,大きさの違いはハイブリ ッド MC/MD シミュレーションにおける焼鈍温度 Tの違い であり、白抜き、黒塗りのプロットはそれぞれy方向、x方 向の単軸圧縮において得られる値を意味している. s_Dが小 さくなることに伴い σ_{ys}/E が大きくなる傾向がみられる. つ まり、HEA の粒界を構成する原子種の組成が不均質にな り、粒界偏析が発生することで粒界から転位が放出しにくく なることを意味している.ここで、図6で示したように粒 界の局所的な組成の偏りは温度に依存して変化しうることを 思い出すと、このことは HEA に熱処理を加えることで粒界 の組成が変化することを意味しており、熱処理の結果として、 HEA の粒界を介した塑性現象を制御できる可能性を示唆し ている. 一方で、図8のプロットからは、 δ と σ_{ys}/E の間に 明確な相関は確認できないことに注意が必要である. このこ とは、粒界から転位が放出する現象は、原子サイズ差δのみ では整理できず、粒界の局所的な組成の偏りが重要な因子で あることを意味している.

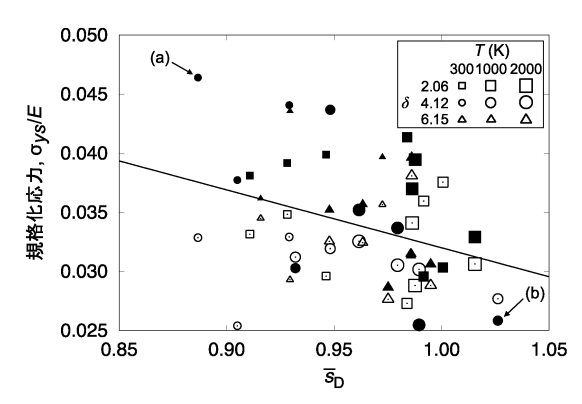


図8 粒界からの転位放出応力 σ_{yy}/E と粒界中の原子混合度 \bar{s}_D の関係、転位放出応力はヤング率Eで規格化して示した、白抜きと黒塗りのプロットはそれぞれ、y方向及びx方向圧縮における転位放出応力である。また、図7に示した粒界構造を持つHEAモデルの転位放出応力と、フィッティングにより得られる直線も図中に示した、

図8より、x方向圧縮に対してy方向圧縮の σ_{ys}/E は \bar{s}_D に 鈍感であることがわかる。本解析において粒界から放出される転位のバーガースベクトルがそれぞれの圧縮方向で反対符号となるが、一般的に粒界に存在する粒界転位と放出する格子転位のバーガースベクトルの関係は、転位放出現象に強く影響することが知られている $^{(19)}$. そのため、x,y方向の傾向が異なる原因として、今回用いた粒界を構成する粒界転位成分が考えられるが、円形粒界を用いたため非対称成分を多く含み粒界転位成分の特定が困難であった。それゆえに、粒界からの転位放出現象における負荷荷重方向依存性を検討するためには、粒界転位を容易に特定可能な対称傾角粒界を用いた考察が必要である。

上述した HEA の負荷荷重方向に対する粒界転位成分の影響を検討することを一つの目的として、著者らは対称傾角粒界を有する 2 次元系の HEA モデルを用いた粒界からの転位放出現象に関する検討も行っている (38). この検討では、粒界偏析が発生することにより粒界自由体積が減少し粒界からの転位放出を困難化することを、様々な対応格子を有する粒界を用いて系統的に見出している。そして、転位放出応力の粒界偏析度合い依存性や負荷荷重方向依存性のみならず、粒界偏析が結晶粒内部と粒界の間の力学的な不均質性の緩和機構として機能する結果として、塑性現象の優先サイトとしての粒界の役割が抑制される可能性を示唆する結果を得ている。以上のように HEA の粒界偏析は、HEA の粒界を介した塑性現象に大きな影響を与える因子であることを見出している。

5. ま と め

本報では、著者らが近年取り組んでいる HEA における粒界偏析や粒界からの転位放出現象に対して、MD シミュレーションを用いて検討・考察して得られた知見について紹介した. 現在は、2次元系の HEA モデル中の対称傾角粒界にお

662 特 集

ける粒界偏析や粒界からの転位放出現象の解析(38)をはじめ として、3次元系の実際の粒界構造ユニットを有する場合の 転位放出現象など、粒界偏析が粒界を介した塑性現象に与え る影響について原子スケールのアプローチで検討を行ってい る. これらの結果の詳細は別の機会に紹介させて頂ければ幸 いである. 本報で示したように原子シミュレーションは,実 現象の中では切り離して考えることができない現象を分離し て考えることができるため(ここでは HEA の原子サイズの 違いのみが粒界偏析や粒界からの転位放出現象に与える影響 を検討した),様々な事象が絡み合った複雑な現象をシンプ ルな現象に落とし込み、その現象の支配因子に関する詳細な 情報を原子スケールの時空間的解像度で検討することができ る. そのため原子シミュレーションは、材料中の格子欠陥の 複雑な相互作用の結果として生まれる力学現象を理解するた めの1つの有用なツールとして、大きな役割を果たすこと ができる手法であると考えている. このような原子スケール のシミュレーションが、金属材料の力学現象を理解するため の一助となれば幸いである.

本研究は、文部科学省科学研究費補助金・新学術領域研究 (研究領域提案型)「ハイエントロピー合金」(課題番号: JP18H05453, JP21H00142)と日本学術振興会特別研究員奨 励費(課題番号: JP21J21395)の補助を受けて実施したこと を付記し、ここに謝意を表します。

文 献

- (1) J.-W. Yeh, S.-K. Chen, S.-J. Lin, J.-Y. Gan, T.-S. Chin, T.-T. Shun, C.-H. Tsau and S.-Y. Chang: Adv. Eng. Mater., 6 (2004), 299-303.
- (2) B. Cantor, I.T.H. Chang, P. Knight and A.J.B. Vincent: Mater. Sci. Eng. A, 375–377 (2004), 213–218.
- (3) Y. F. Ye, Q. Wang, J. Lu, C. T. Liu and Y. Yang: Mater. Today, 19 (2016), 349–362.
- (4) D. B Miracle and O. N. Senkov: Acta Mater., 122(2017), 448–511.
- (5) H. Inui, K. Kishida and Z. Chen: Mater. Trans., **63**(2022), 394–401.
- (6) B. Gludovatz, A. Hohenwarter, D. Catoor, E.H. Chang, E.P. George and R.O. Ritchie: Science, 345 (2014), 1153–1158.
- (7) Y. Deng, C. C. Tasan, K. G. Pradeep, H. Springer, A. Kostka and D. Raabe: Acta Mater., 94 (2015), 124–133.
- (8) Z. Li, K.G. Pradeep, Y. Deng, D. Raabe and C.C. Tasan: Nature, **534**(2016), 227–230.
- (9) O. N. Senkov, G. B. Wilks, J. M. Scott and D. B. Miracle: Intermetallics, 19 (2011), 698–706.
- (10) C.-C. Juan, M.-H. Tsai, C.-W. Tsai, C.-M. Lin, W.-R. Wang, C.-C. Yang, S.-K. Chen, S.-J. Lin and J.-W. Yeh: Intermetallics, **62**(2015), 76–83.
- (11) J.-W. Yeh: Ann. Chim. Sci. Mat., 31 (2006), 633-648.
- (12) N. L. Okamoto, K. Yuge, K. Tanaka, H. Inui and E. P. George: AIP Adv., **6** (2016), 125008.
- (13) Md. Lokman Ali, S. Shinzato, V. Wang, Z. Shen, J.-P. Du and S. Ogata: Mater. Trans., **61**(2020), 605–609.
- (14) H. V. Swygenhoven: Science, 296 (2002), 66-67.
- (15) E. O. Hall: Proc. Phys. Soc. Lond., 64B(1951), 747-753.
- (16) N. J. Petch: J. Iron Steel Inst., 174 (1953), 25-28.
- (17) T. Frolov and Y. Mishin: Phys. Rev. B, 79 (2009), 174110.

- (18) M. A. Tschopp, G. J. Tucker and D. L. McDowell: Acta Mater., 55 (2007), 3959–3969.
- (19) D. E. Spearot, M. A. Tschopp, K. I. Jacob and D. L. McDowell: Acta Mater., 55 (2007), 705–714.
- (20) D. E. Spearot: Mech. Res. Comm., 35 (2008), 81-88.
- (21) T. Shimokawa: Phys. Rev. B, 82(2010), 174122.
- (22) K. G. Pradeep, N. Wanderka, P. Choi, J. Banhart, B. S. Murty and D. Raabe: Acta Mater., **61** (2013), 4696–4706.
- (23) D. Raabe, M. Herbig, S. Sandlöbes, Y. Li, D. Tytko, M. Kuzmina, D. Ponge and P.-P. Choi: Curr. Opin. Solid State Mater. Sci., 18(2014), 253–261.
- (24) Y. Zou, P. Okle, H. Yu, T. Sumigawa, T. Kitamura, S. Maiti, W. Steurer and R. Spolenak: Scr. Mater., 128 (2017), 95–99.
- (25) C. M. Barr, J. E. Nathaniel II, K. A. Unocic, J. Liu, Y. Zhang, Y. Wang and M.L. Taheri: Scr. Mater., **156** (2018), 80–84.
- (26) L. Li, Z. Li, A. Kwiatkowski da Silva, Z. Peng, H. Zhao, B. Gault and D. Raabe: Acta Mater., 178 (2019), 1–9.
- (27) L. Li, R. D. Kamachali, Z. Li and Z. Zhang: Phys. Rev. Mater., 4(2020), 053603.
- (28) K. Shiotani, T. Niiyama and T. Shimokawa: Mater. Trans., **61** (2020), 1272–1279.
- (29) S. Fang, X. Xiao, L. Xia, W. Li and Y. Dong: J. Non-Cryst.
- Solids., **321**(2003), 120–125. (30) W.-M. Choi, Y. H. Jo, S. S. Sohn, S. Lee and B.-J. Lee: npj Comput. Mater., 4(2018), 1–9.
- (31) D. Farkas and A. Caro: J. Mater. Res., 33 (2018), 3218-3225.
- (32) R. Gröger, V. Vitek and A. Dlouhý: Model. Simul. Mat. Sci. Eng., **28**(2020), 075006.
- (33) X. Huang, L. Liu, X. Duan, W. Liao, J. Huang, H. Sun and C. Yu: Mater. Des., 202 (2021), 109560.
- (34) O. R. Deluigi, R. C. Pasianot, F. J. Valencia, A. Caro, D. Farkas and E. M. Bringa: Acta Mater., 213 (2021), 116951.
- (35) J.-P. Du, P. Yu, S. Shinzato, F.-S. Meng, Y. Sato, Y. Li, Y. Fan and S. Ogata: Acta Mater., **240**(2022), 118314.
- (36) N. Metropolis, A. W. Rosenbluth, M. N. Rosenbluth, A. H. Teller and E. Teller: J. Chem. Phys., 21 (1953), 1087–1092.
- (37) 上田 願:分子シミュレーション―古典系から量子系手法まで―, 裳華房, (2003).
- (38) K. Shiotani, T. Niiyama and T. Shimokawa: Submitted.



塩谷光平

2021年4月 金沢大学大学院自然科学研究科博士後期課程入学

2021年 4 月 日本学術振興会特別研究員(DC1)

専門分野: 計算材料力学(分子動力学法) ◎ハイエントロピー合金の粒界を介した塑性現象に関する原子シミュレーションに従事.



2004年 立命館大学大学院理工学研究科数理科学専 攻博士課程前期課程修了 2009年 立命館大学大学院理工学研究科総合理工学

専攻博士課程後期課程修了 2020年11月- 現職

専門分野:非線形物理学 ★★★★★★★★★★★★★★★★★★★★



下川智嗣

★★★★★★★★★★★★★★★★★★★★★★ 2002年 大阪大学大学院工学研究科博士後期課程修了 2003年 金沢大学工学部助手

2015年10月- 現職 専門分野:計算材料力学
